

Symmetry of the superconducting gap

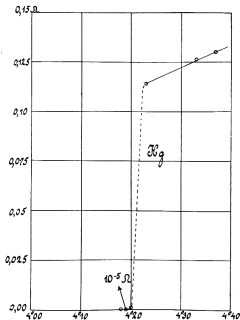
Bijan Chokoufe Nejad

Oberseminar: Fortgeschrittene Themen der Theoretischen Physik

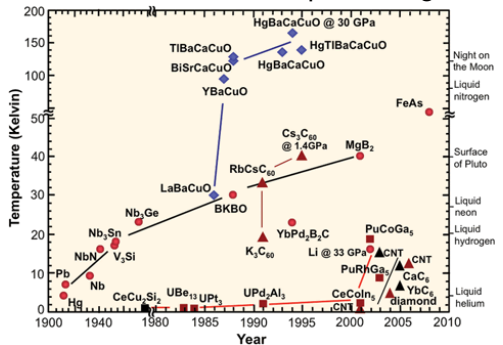
Symmetrien in der Festkörperphysik

1. August 2012

1911 Onnes



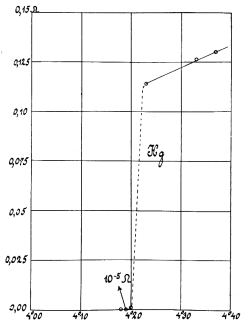
Geschichte der Supraleitung



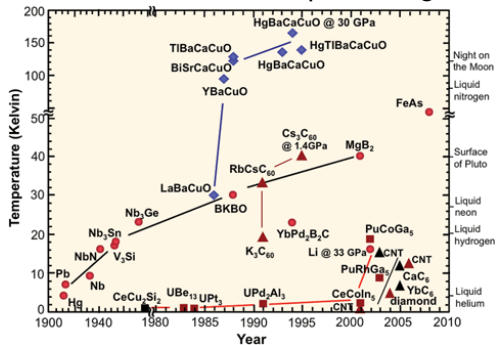
Theoretische und experimentelle Herausforderung.

Supraleitende Materialien: Metalle, '86 Cuprates, '08 Pnictides

1911 Onnes



Geschichte der Supraleitung



Theoretische und experimentelle Herausforderung.

Supraleitende Materialien: **Metalle**, '86 **Cuprates**, '08 **Pnictides**

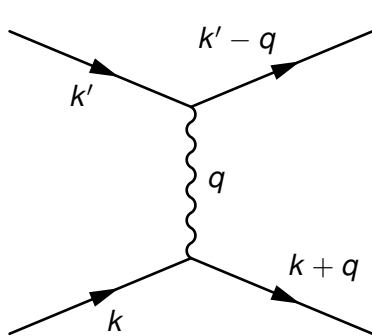
Konventionelle Supraleiter

High- T_c Supraleiter: Cuprates

Symmetrie des Gaps

Konventionelle Supraleiter

Elektron-Phonon Wechselwirkung



Startpunkt: Quantisiertes Phononenfeld

$$\phi(\mathbf{x}, t) = \text{const.} \times$$

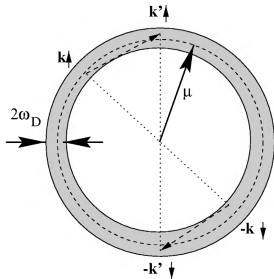
$$\sum_{\mathbf{k}} \left(a_{\mathbf{k}}^{\dagger} e^{i(\omega_{\mathbf{k}} t - \mathbf{k} \cdot \mathbf{x})} + a_{\mathbf{k}} e^{-i(\omega_{\mathbf{k}} t - \mathbf{k} \cdot \mathbf{x})} \right)$$

In niedrigster Ordnung kann man mit der 2-Punkts-Greenfunktion

$$iG(x - x') = \langle 0 | T \phi(x) \phi(x') | 0 \rangle$$

eine effektive, **attraktive** Wechselwirkung für die Elektronen erhalten:

$$V_{\text{eff}} = -V_0 \Theta(\omega_D - \omega)$$



Schale um die Fermikugel, in die gestreut werden kann: $\omega_D \propto M^{-1/2}$
 → Erklärung des Isotopen-Effekts
 ($T_c \propto M^{-\alpha}$) einiger Supraleiter.

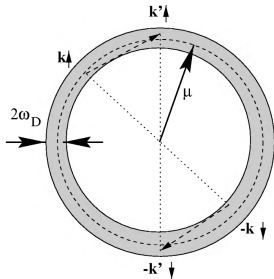
Im *Cooper-Problem* zweier Elektronen:

$$\Psi(\mathbf{r}_1, \sigma_1, \mathbf{r}_2, \sigma_2) = e^{i\mathbf{K}_{cm}\mathbf{R}_{cm}} \varphi(\mathbf{r}_1 - \mathbf{r}_2) \phi_{\sigma_1\sigma_2}^{\text{spin}}$$

zeigt sich, dass im Grundzustand $\mathbf{K}_{cm} = 0$. Ferner Triplett oder Singulett im Spin möglich. Die meisten Supraleiter sind **Spin-Singulett**. Mittels $\varphi(\mathbf{r}_1 - \mathbf{r}_2) = \sum_{\mathbf{k}} \varphi_{\mathbf{k}} e^{i\mathbf{k}(\mathbf{r}_1 - \mathbf{r}_2)}$ und

Über $H\Psi \equiv (H_0 + V_{\text{eff}}) = E\Psi \rightarrow \dots \rightarrow$

$$\text{Selbstkonsistenz-Gleichung: } 1 = -V_0 \sum_{\mathbf{k}} \frac{1}{E - 2\epsilon(\mathbf{k})}$$



Schale um die Fermikugel, in die gestreut werden kann: $\omega_D \propto M^{-1/2}$
 → Erklärung des Isotopen-Effekts
 ($T_c \propto M^{-\alpha}$) einiger Supraleiter.

Im *Cooper-Problem* zweier Elektronen:

$$\Psi(\mathbf{r}_1, \sigma_1, \mathbf{r}_2, \sigma_2) = e^{i\mathbf{K}_{cm}\mathbf{R}_{cm}} \varphi(\mathbf{r}_1 - \mathbf{r}_2) \phi_{\sigma_1\sigma_2}^{\text{spin}}$$

zeigt sich, dass im Grundzustand $\mathbf{K}_{cm} = 0$. Ferner Triplett oder Singulett im Spin möglich. Die meisten Supraleiter sind **Spin-Singulett**. Mittels $\varphi(\mathbf{r}_1 - \mathbf{r}_2) = \sum_{\mathbf{k}} \varphi_{\mathbf{k}} e^{i\mathbf{k}(\mathbf{r}_1 - \mathbf{r}_2)}$ und

Über $H\Psi \equiv (H_0 + V_{\text{eff}}) = E\Psi \rightarrow \dots \rightarrow$

$$\text{Selbstkonsistenz-Gleichung: } 1 = -V_0 \sum_{\mathbf{k}} \frac{1}{E - 2\epsilon(\mathbf{k})}$$

Cooper-Instabilität

$$1 = -V_0 \sum_{\mathbf{k}} \frac{1}{E - 2\epsilon(\mathbf{k})}$$

Im Kontinuumslimites mit der Zustandsdichte $g(\epsilon)$

$$\rightarrow 1 = -V_0 \int_0^{\omega_D} d\epsilon g(\epsilon) \frac{1}{E - 2\epsilon}$$

Für schwache Kopplungen existiert **immer** eine gebundene Lösung:

$$-E \approx 2\omega_D e^{-2/(V_0 g(\epsilon_F))}$$

Somit ist die gefüllte Fermi-Kugel nicht der Grundzustand:
Cooper-Instabilität.

Der Grundzustand sollte solche **Cooper-Paare** enthalten:
Paarerzeugung $P_{\mathbf{k}}^\dagger = c_{\mathbf{k}\uparrow}^\dagger c_{-\mathbf{k}\downarrow}^\dagger$

Cooper-Instabilität

$$1 = -V_0 \sum_{\mathbf{k}} \frac{1}{E - 2\epsilon(\mathbf{k})}$$

Im Kontinuumslimit mit der Zustandsdichte $g(\epsilon)$

$$\rightarrow 1 = -V_0 \int_0^{\omega_D} d\epsilon g(\epsilon) \frac{1}{E - 2\epsilon}$$

Für schwache Kopplungen existiert **immer** eine gebundene Lösung:

$$-E \approx 2\omega_D e^{-2/(V_0 g(\epsilon_F))}$$

Somit ist die gefüllte Fermi-Kugel nicht der Grundzustand:
Cooper-Instabilität.

Der Grundzustand sollte solche **Cooper-Paare** enthalten:
Paarerzeugung $P_{\mathbf{k}}^\dagger = c_{\mathbf{k}\uparrow}^\dagger c_{-\mathbf{k}\downarrow}^\dagger$

In zweiter Quantisierung lautet das Vielteilchen-Problem

$$H = \sum_{\mathbf{k}\sigma} \epsilon_{\mathbf{k}} n_{\mathbf{k}\sigma} - V_0 \sum_{\mathbf{k}\mathbf{k}'} P_{\mathbf{k}'}^\dagger P_{\mathbf{k}}$$

Angenommen, die Paarerzeugung/-vernichtung erlangt einen endlichen Erwartungswert:

$$\Delta = V_0 \sum_{\mathbf{k}} \langle \Omega_S | P_{\mathbf{k}} | \Omega_S \rangle$$

$$\bar{\Delta} = V_0 \sum_{\mathbf{k}} \langle \Omega_S | P_{\mathbf{k}}^\dagger | \Omega_S \rangle$$

Damit wird Δ zum **Ordnungsparameter** und der GZ $|\Omega_S\rangle$ kann keine eindeutige Teilchenanzahl haben.

In zweiter Quantisierung lautet das Vielteilchen-Problem

$$H = \sum_{\mathbf{k}\sigma} \epsilon_{\mathbf{k}} n_{\mathbf{k}\sigma} - V_0 \sum_{\mathbf{k}\mathbf{k}'} P_{\mathbf{k}'}^{\dagger} P_{\mathbf{k}}$$

Angenommen, die Paarerzeugung/-vernichtung erlangt einen endlichen Erwartungswert:

$$\Delta = V_0 \sum_{\mathbf{k}} \langle \Omega_S | P_{\mathbf{k}} | \Omega_S \rangle$$
$$\bar{\Delta} = V_0 \sum_{\mathbf{k}} \langle \Omega_S | P_{\mathbf{k}}^{\dagger} | \Omega_S \rangle$$

Damit wird Δ zum **Ordnungsparameter** und der GZ $|\Omega_S\rangle$ kann keine eindeutige Teilchenanzahl haben.

Mean-field Theorie

$$H = \sum_{\mathbf{k}\sigma} \epsilon_{\mathbf{k}} n_{\mathbf{k}\sigma} - V_0 \sum_{\mathbf{k}\mathbf{k}'} P_{\mathbf{k}'}^\dagger P_{\mathbf{k}}$$

Eine Entwicklung um diesen Mean-field-Wert

$$\sum_{\mathbf{k}} P_{\mathbf{k}} = \frac{\Delta}{V_0} + \underbrace{\left(\sum_{\mathbf{k}} P_{\mathbf{k}} - \frac{\Delta}{V_0} \right)}_{\text{klein}}$$

gibt in linearer Ordnung in $P_{\mathbf{k}}$ und unter Berücksichtigung des chemischen Potentials ($\xi_{\mathbf{k}} = \epsilon_{\mathbf{k}} - \mu$)

$$H - \mu N \approx \sum_{\mathbf{k}} \left[\xi_{\mathbf{k}} (n_{\mathbf{k}\uparrow} + n_{\mathbf{k}\downarrow}) - \left(\bar{\Delta} P_{\mathbf{k}} + \Delta P_{\mathbf{k}}^\dagger \right) \right] - \frac{|\Delta|^2}{V_0}.$$

Dies ist der **Bogoliubov-de Gennes** (oder Gor'kov) **Hamiltonian**.
In Nambu Spinor Darstellung:

$$\Psi_{\mathbf{k}}^\dagger = \left(c_{\mathbf{k}\uparrow}^\dagger, c_{-\mathbf{k}\downarrow} \right), \quad \Psi_{\mathbf{k}} = \begin{pmatrix} c_{\mathbf{k}\uparrow} \\ c_{-\mathbf{k}\downarrow}^\dagger \end{pmatrix}$$

Mean-field Theorie

$$H = \sum_{\mathbf{k}\sigma} \epsilon_{\mathbf{k}} n_{\mathbf{k}\sigma} - V_0 \sum_{\mathbf{k}\mathbf{k}'} P_{\mathbf{k}'}^\dagger P_{\mathbf{k}}$$

Eine Entwicklung um diesen Mean-field-Wert

$$\sum_{\mathbf{k}} P_{\mathbf{k}} = \frac{\Delta}{V_0} + \underbrace{\left(\sum_{\mathbf{k}} P_{\mathbf{k}} - \frac{\Delta}{V_0} \right)}_{\text{klein}}$$

gibt in linearer Ordnung in $P_{\mathbf{k}}$ und unter Berücksichtigung des chemischen Potentials ($\xi_{\mathbf{k}} = \epsilon_{\mathbf{k}} - \mu$)

$$H - \mu N \approx \sum_{\mathbf{k}} \left[\xi_{\mathbf{k}} (n_{\mathbf{k}\uparrow} + n_{\mathbf{k}\downarrow}) - \left(\bar{\Delta} P_{\mathbf{k}} + \Delta P_{\mathbf{k}}^\dagger \right) \right] - \frac{|\Delta|^2}{V_0}.$$

Dies ist der **Bogoliubov-de Gennes** (oder Gor'kov) **Hamiltonian**.
In Nambu Spinor Darstellung:

$$\Psi_{\mathbf{k}}^\dagger = \left(c_{\mathbf{k}\uparrow}^\dagger, c_{-\mathbf{k}\downarrow} \right), \quad \Psi_{\mathbf{k}} = \begin{pmatrix} c_{\mathbf{k}\uparrow} \\ c_{-\mathbf{k}\downarrow}^\dagger \end{pmatrix}$$

$$H - \mu N = \sum_{\mathbf{k}} \Psi_{\mathbf{k}}^{\dagger} \begin{pmatrix} \xi_{\mathbf{k}} & -\Delta \\ -\bar{\Delta} & -\xi_{\mathbf{k}} \end{pmatrix} \Psi_{\mathbf{k}} + \sum_{\mathbf{k}} \xi_{\mathbf{k}} - \frac{|\Delta|^2}{V_0}$$

Wir diagonalisieren mittels **unitärer Transformation**:

$$\begin{pmatrix} \alpha_{\mathbf{k}\uparrow} \\ \alpha_{-\mathbf{k}\downarrow}^{\dagger} \end{pmatrix} = \begin{pmatrix} \cos \theta_{\mathbf{k}} & \sin \theta_{\mathbf{k}} \\ \sin \theta_{\mathbf{k}} & -\cos \theta_{\mathbf{k}} \end{pmatrix} \begin{pmatrix} c_{\mathbf{k}\uparrow} \\ c_{-\mathbf{k}\downarrow}^{\dagger} \end{pmatrix} \equiv U_{\mathbf{k}} \Psi_{\mathbf{k}},$$

setzen $\cos(2\theta_{\mathbf{k}}) = \xi_{\mathbf{k}}/E_{\mathbf{k}}$, $\sin(2\theta_{\mathbf{k}}) = -\Delta/E_{\mathbf{k}}$ und erhalten:

$$H - \mu N = \sum_{\mathbf{k}\sigma} E_{\mathbf{k}} \alpha_{\mathbf{k}\sigma}^{\dagger} \alpha_{\mathbf{k}\sigma} + \text{const.}$$

$$\text{mit } E_{\mathbf{k}} = \sqrt{\Delta^2 + \xi_{\mathbf{k}}^2}$$

$$H - \mu N = \sum_{\mathbf{k}} \Psi_{\mathbf{k}}^{\dagger} \begin{pmatrix} \xi_{\mathbf{k}} & -\Delta \\ -\bar{\Delta} & -\xi_{\mathbf{k}} \end{pmatrix} \Psi_{\mathbf{k}} + \sum_{\mathbf{k}} \xi_{\mathbf{k}} - \frac{|\Delta|^2}{V_0}$$

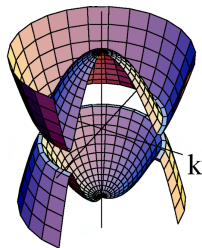
Wir diagonalisieren mittels **unitärer Transformation**:

$$\begin{pmatrix} \alpha_{\mathbf{k}\uparrow} \\ \alpha_{-\mathbf{k}\downarrow}^{\dagger} \end{pmatrix} = \begin{pmatrix} \cos \theta_{\mathbf{k}} & \sin \theta_{\mathbf{k}} \\ \sin \theta_{\mathbf{k}} & -\cos \theta_{\mathbf{k}} \end{pmatrix} \begin{pmatrix} c_{\mathbf{k}\uparrow} \\ c_{-\mathbf{k}\downarrow}^{\dagger} \end{pmatrix} \equiv U_{\mathbf{k}} \Psi_{\mathbf{k}},$$

setzen $\cos(2\theta_{\mathbf{k}}) = \xi_{\mathbf{k}}/E_{\mathbf{k}}$, $\sin(2\theta_{\mathbf{k}}) = -\Delta/E_{\mathbf{k}}$ und erhalten:

$$H - \mu N = \sum_{\mathbf{k}\sigma} E_{\mathbf{k}} \alpha_{\mathbf{k}\sigma}^{\dagger} \alpha_{\mathbf{k}\sigma} + \text{const.}$$

$$\text{mit } E_{\mathbf{k}} = \sqrt{\Delta^2 + \xi_{\mathbf{k}}^2}$$



Die Quasiteilchen, die durch $\alpha_{\mathbf{k}\sigma}^\dagger$ erzeugt werden, haben eine Gap Δ , was elementare Anregungen bei niedrigen Temp. erschwert.

Für den GZ muss für alle \mathbf{k}, σ gelten: $\alpha_{\mathbf{k}\sigma} |\Omega_s\rangle = 0$, was wegen $[\alpha_a, \alpha_b]_+ = 0$ genau erfüllt wird, wenn

$$\begin{aligned}\rightarrow |\Omega_s\rangle &\equiv \prod_{\mathbf{k}} \alpha_{\mathbf{k}\uparrow} \alpha_{-\mathbf{k}\downarrow} |0\rangle \\ &= \prod_{\mathbf{k}} \left(\cos \theta_{\mathbf{k}} c_{\mathbf{k}\uparrow} + \sin \theta_{\mathbf{k}} c_{-\mathbf{k}\downarrow}^\dagger \right) \left(\sin \theta_{\mathbf{k}} c_{\mathbf{k}\uparrow}^\dagger - \cos \theta_{\mathbf{k}} c_{-\mathbf{k}\downarrow} \right) |0\rangle \\ &\propto \prod_{\mathbf{k}} \left(\cos \theta_{\mathbf{k}} - \sin \theta_{\mathbf{k}} P_{\mathbf{k}}^\dagger \right) |0\rangle\end{aligned}$$

wobei $|0\rangle$ das Vakuum darstellt. Somit haben wir auf natürliche Weise die **BCS Wellenfunktion** erhalten.

Für $\Delta \rightarrow 0$ geht $|\Omega_s\rangle \rightarrow |0\rangle$.

Die Quasiteilchen, die durch $\alpha_{\mathbf{k}\sigma}^\dagger$ erzeugt werden, haben eine Gap Δ , was elementare Anregungen bei niedrigen Temp. erschwert.

Für den GZ muss für alle \mathbf{k}, σ gelten: $\alpha_{\mathbf{k}\sigma} |\Omega_s\rangle = 0$, was wegen $[\alpha_a, \alpha_b]_+ = 0$ genau erfüllt wird, wenn

$$\begin{aligned} \rightarrow |\Omega_s\rangle &\equiv \prod_{\mathbf{k}} \alpha_{\mathbf{k}\uparrow} \alpha_{-\mathbf{k}\downarrow} |0\rangle \\ &= \prod_{\mathbf{k}} \left(\cos \theta_{\mathbf{k}} c_{\mathbf{k}\uparrow} + \sin \theta_{\mathbf{k}} c_{-\mathbf{k}\downarrow}^\dagger \right) \left(\sin \theta_{\mathbf{k}} c_{\mathbf{k}\uparrow}^\dagger - \cos \theta_{\mathbf{k}} c_{-\mathbf{k}\downarrow} \right) |0\rangle \\ &\propto \prod_{\mathbf{k}} \left(\cos \theta_{\mathbf{k}} - \sin \theta_{\mathbf{k}} P_{\mathbf{k}}^\dagger \right) |0\rangle \end{aligned}$$

wobei $|0\rangle$ das Vakuum darstellt. Somit haben wir auf natürliche Weise die **BCS Wellenfunktion** erhalten.

Für $\Delta \rightarrow 0$ geht $|\Omega_s\rangle \rightarrow |0\rangle$.

$$\sin(2\theta_k) = -\Delta/E_k$$

Nun können wir selbstkonsistent Δ bestimmen:

$$\begin{aligned}\Delta &= V_0 \sum_{\mathbf{k}} \langle \Omega_S | P_{\mathbf{k}} | \Omega_S \rangle = -V_0 \sum_{\mathbf{k}} \sin \theta_{\mathbf{k}} \cos \theta_{\mathbf{k}} \\ &= \frac{V_0}{2} \sum_{\mathbf{k}} \frac{\Delta}{\sqrt{\Delta^2 + \xi_{\mathbf{k}}^2}} = \frac{V_0 \Delta}{2} \int_{-\omega_D}^{\omega_D} \frac{g(E) dE}{\sqrt{\Delta^2 + E^2}}\end{aligned}$$

unter Annahme einer konstanten Zustandsdichte

$$\begin{aligned}\Delta &\approx \Delta V_0 g(E_f) \sinh^{-1}(\omega_D/\Delta) \\ \Rightarrow \Delta &= \frac{\omega_D}{\sinh(1/V_0 g(E_f))} \approx 2\omega_D e^{-1/(V_0 g(E_f))}\end{aligned}$$

Analog zur Bindungsenergie eines Cooper-Paares.

$$\sin(2\theta_k) = -\Delta/E_k$$

Nun können wir selbstkonsistent Δ bestimmen:

$$\begin{aligned}\Delta &= V_0 \sum_{\mathbf{k}} \langle \Omega_S | P_{\mathbf{k}} | \Omega_S \rangle = -V_0 \sum_{\mathbf{k}} \sin \theta_{\mathbf{k}} \cos \theta_{\mathbf{k}} \\ &= \frac{V_0}{2} \sum_{\mathbf{k}} \frac{\Delta}{\sqrt{\Delta^2 + \xi_{\mathbf{k}}^2}} = \frac{V_0 \Delta}{2} \int_{-\omega_D}^{\omega_D} \frac{g(E) dE}{\sqrt{\Delta^2 + E^2}}\end{aligned}$$

unter Annahme einer konstanten Zustandsdichte

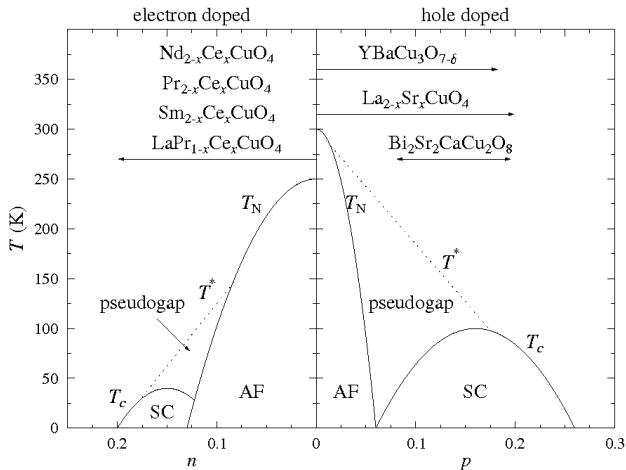
$$\begin{aligned}\Delta &\approx \Delta V_0 g(E_f) \sinh^{-1}(\omega_D/\Delta) \\ \Rightarrow \Delta &= \frac{\omega_D}{\sinh(1/V_0 g(E_f))} \approx 2\omega_D e^{-1/(V_0 g(E_f))}\end{aligned}$$

Analog zur Bindungsenergie eines Cooper-Paares.

High- T_c Supraleiter: Cuprates

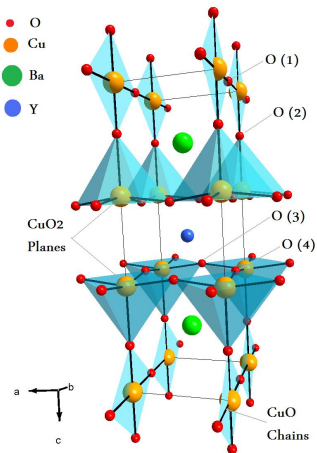


Entdeckung
1986:
Bednorz &
Müller in
Ba-La-Cu-O



Bislang unklar, welche Wechselwirkung dominiert.

Mögliche Wechselwirkungen



Annahme: Pairing findet in der **CuO₂-Ebene** statt.

Kann durch **Hubbard-Modell** beschrieben werden:

$$H = - \sum_{\langle ij \rangle s} t \left(c_{is}^{\dagger} c_{js} + c_{js}^{\dagger} c_{is} \right) + \sum_i U n_{i\uparrow} n_{i\downarrow}$$

= hopping + onsite repulsion

Interlayer hopping ist hier nur schwache Kopplung.

Mögliche Wechselwirkungen

- ▶ Elektron-Phonon-WW
- ▶ Charge-Transfer Modelle
- ▶ Antiferromagnetische Modelle
- ▶ Stark korrelierte semion gauge Modelle
- ▶ Interlayer hopping als pairing Mechanismus
- ▶ Anyonic pairing
- ▶ ...

Schon bei s-wave Supraleitern musste der mikroskopische Ursprung des Ordnungsparameters nicht bekannt sein.

Δ entspricht der Anregungsenergie für Eigenzustände in der SC Phase -> messbar.

Die onsite repulsion U macht ein konstantes Δ unmöglich.
Berücksichtigung der möglichen \mathbf{k} -Abhängigkeit:

$$\Delta \rightarrow \Delta_{\mathbf{k}}, \quad \Delta_{\mathbf{k}} = -\frac{1}{2} \sum_{\mathbf{k}'} V_{\mathbf{k}\mathbf{k}'} \frac{\Delta_{\mathbf{k}'}}{E_{\mathbf{k}'}}$$

Symmetrie der Wellenfunktion erzwingt im Spin-Singulett

$$\Delta_{\mathbf{k}} = \Delta_{-\mathbf{k}}$$

($\Delta_{\mathbf{k}} = \varphi_{\mathbf{k}} E_{\mathbf{k}}$ und $\varphi(\mathbf{x}_1 - \mathbf{x}_2)$ ist Relativkoord.-Wellenfkt.)

Verwende Gruppentheorie, um mögliche \mathbf{k} -Abhängigkeiten zu ermitteln.

Schon bei s-wave Supraleitern musste der mikroskopische Ursprung des Ordnungsparameters nicht bekannt sein.

Δ entspricht der Anregungsenergie für Eigenzustände in der SC Phase -> messbar.

Die onsite repulsion U macht ein konstantes Δ unmöglich.
Berücksichtigung der möglichen \mathbf{k} -Abhängigkeit:

$$\Delta \rightarrow \Delta_{\mathbf{k}}, \quad \Delta_{\mathbf{k}} = -\frac{1}{2} \sum_{\mathbf{k}'} V_{\mathbf{k}\mathbf{k}'} \frac{\Delta_{\mathbf{k}'}}{E_{\mathbf{k}'}}$$

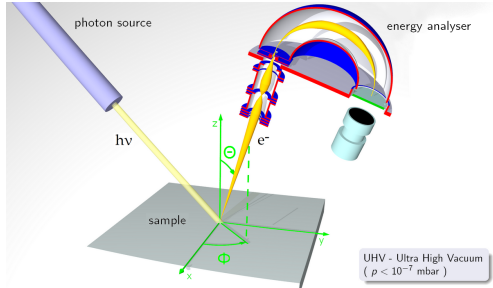
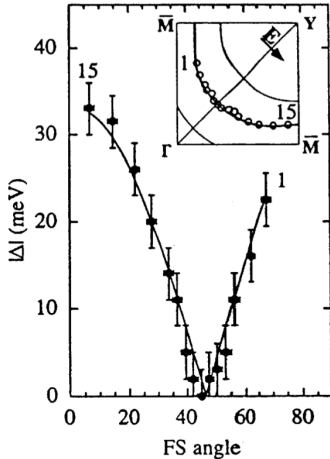
Symmetrie der Wellenfunktion erzwingt im Spin-Singulett

$$\Delta_{\mathbf{k}} = \Delta_{-\mathbf{k}}$$

($\Delta_{\mathbf{k}} = \varphi_{\mathbf{k}} E_{\mathbf{k}}$ und $\varphi(\mathbf{x}_1 - \mathbf{x}_2)$ ist Relativkoord.-Wellenfkt.)

Verwende Gruppentheorie, um mögliche \mathbf{k} -Abhängigkeiten zu ermitteln.

Angle Resolved PhotoEmission Spectroscopy



ARPES Messung von $\text{Bi}_2\text{Sr}_2\text{CaCu}_2\text{O}_{8+x}$. Inset zeigt Position im k -Raum.

Fit mit $|\Delta_{\mathbf{k}}| \propto \cos k_x - \cos k_y$ (d -wave).

Symmetrie des Gaps

Zuvor hatten wir: $V_{\text{eff}} = -V_0 \Theta(\omega_D - \omega)$. Hier wurde die Frequenzabhängigkeit und die Coulomb-WW vernachlässigt. Eigentlich:

$$V_{\text{eff}} = \frac{-2|g_q|^2 \omega_q}{\omega_m^2 + \omega_q^2} + \frac{4\pi e^2}{q^2 + \kappa_s^2} \quad q : \text{Impulsübertrag,}$$

κ_s^{-1} : Thomas-Fermi-Abschirmlänge

Wobei die abgeschirmte, repulsive Coulomb-WW die Phonon-WW überwiegen kann. Allerdings:

$$\begin{aligned} \text{Re} \langle V_{\text{eff}}(t) \rangle_q &= \text{Re} \int \frac{d\omega}{2\pi} e^{-i\omega t} \langle V_{\text{eff}}(i\omega_m \rightarrow \omega + i\delta) \rangle_q \\ &= \langle |g_q|^2 \sin \omega_q t \rangle_q + \left\langle \frac{4\pi e^2}{q^2 + \kappa_s^2} \right\rangle_q \delta(t) \end{aligned}$$

→ Die EI-Ph-WW ist **retardiert** durch das langsamere Gitter.

Zuvor hatten wir: $V_{\text{eff}} = -V_0 \Theta(\omega_D - \omega)$. Hier wurde die Frequenzabhängigkeit und die Coulomb-WW vernachlässigt. Eigentlich:

$$V_{\text{eff}} = \frac{-2|g_q|^2 \omega_q}{\omega_m^2 + \omega_q^2} + \frac{4\pi e^2}{q^2 + \kappa_s^2} \quad q : \text{Impulsübertrag,}$$

κ_s^{-1} : Thomas-Fermi-Abschirmlänge

Wobei die abgeschirmte, repulsive Coulomb-WW die Phonon-WW überwiegen kann. Allerdings:

$$\begin{aligned} \text{Re} \langle V_{\text{eff}}(t) \rangle_q &= \text{Re} \int \frac{d\omega}{2\pi} e^{-i\omega t} \langle V_{\text{eff}}(i\omega_m \rightarrow \omega + i\delta) \rangle_q \\ &= \left\langle |g_q|^2 \sin \omega_q t \right\rangle_q + \left\langle \frac{4\pi e^2}{q^2 + \kappa_s^2} \right\rangle_q \delta(t) \end{aligned}$$

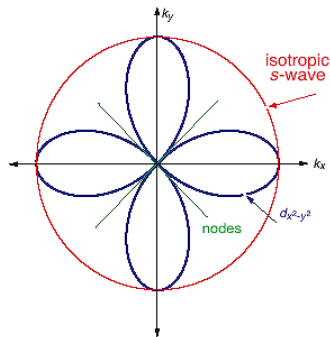
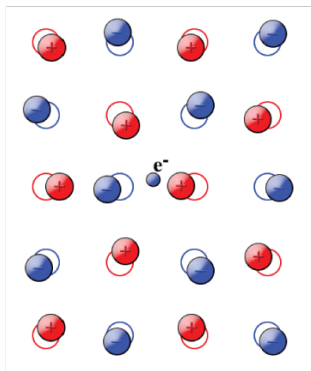
→ Die El-Ph-WW ist **retardiert** durch das langsamere Gitter.

Elektron-Phonon: revisited

s-wave
Zeitliche Korrelation

d-wave
Räumliche Korrelation

Vermeidung der Coulomb-WW



Beschränken wir uns auf die 2D CuO_2 Ebene haben wir die C_4 Punktgruppe (4 zählige Drehachse).

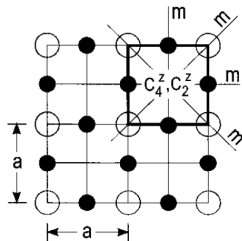
Ein möglicher Satz an **Basisfunktionen**, kompatibel mit $\Delta_{\mathbf{k}} = \Delta_{-\mathbf{k}}$, ist:

$$w_{\mathbf{r};\mathbf{k}}^{s+} = \cos k_x x \cos k_y y + \cos k_x y \cos k_y x$$

$$w_{\mathbf{r};\mathbf{k}}^{s-} = -\sin k_x x \sin k_y y + \sin k_x y \sin k_y x$$

$$w_{\mathbf{r};\mathbf{k}}^{d+} = \cos k_x x \cos k_y y - \cos k_x y \cos k_y x$$

$$w_{\mathbf{r};\mathbf{k}}^{d-} = -\sin k_x x \sin k_y y - \sin k_x y \sin k_y x$$



Im Allgemeinen kann $\Delta_{\mathbf{k}}$ eine Linearkombination der $w_{\mathbf{r};\mathbf{k}}^{\eta}$ sein. Wenn $E_{\mathbf{k}}$ invariant unter den Punktgruppentransformationen ist, muss allerdings gelten

$$\forall g \in C_4 : |\Delta_{\mathbf{k}}| = |\Delta_{\mathcal{D}(g)\mathbf{k}}|$$

Beschränken wir uns auf die 2D CuO_2 Ebene haben wir die C_4 Punktgruppe (4 zählige Drehachse).

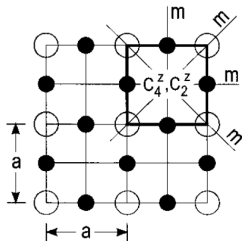
Ein möglicher Satz an **Basisfunktionen**, kompatibel mit $\Delta_{\mathbf{k}} = \Delta_{-\mathbf{k}}$, ist:

$$w_{\mathbf{r};\mathbf{k}}^{S+} = \cos k_x x \cos k_y y + \cos k_x y \cos k_y x$$

$$w_{\mathbf{r};\mathbf{k}}^{S-} = -\sin k_x x \sin k_y y + \sin k_x y \sin k_y x$$

$$w_{\mathbf{r};\mathbf{k}}^{d+} = \cos k_x x \cos k_y y - \cos k_x y \cos k_y x$$

$$w_{\mathbf{r};\mathbf{k}}^{d-} = -\sin k_x x \sin k_y y - \sin k_x y \sin k_y x$$



Im Allgemeinen kann $\Delta_{\mathbf{k}}$ eine Linearkombination der $w_{\mathbf{r};\mathbf{k}}^{\eta}$ sein. Wenn $E_{\mathbf{k}}$ invariant unter den Punktgruppentransformationen ist, muss allerdings gelten

$$\forall g \in C_4 : |\Delta_{\mathbf{k}}| = |\Delta_{\mathcal{D}(g)\mathbf{k}}|$$

Damit ist

$$\Delta_{\mathbf{k}} = \Delta_r^\mu w_r^\mu(\mathbf{k}) \quad \text{oder} \quad \Delta_{\mathbf{k}} = \Delta_r^\eta w_r^\eta(\mathbf{k}) + i\Delta_r^\zeta w_r^\zeta(\mathbf{k}), \quad \eta \neq \zeta$$

Die komplexe Kombination erfüllt auch $|\Delta_{\mathbf{k}}| = |\Delta_{\mathcal{D}(g)\mathbf{k}}|$.

Wird *mixed* genannt und bricht die **Zeitumkehrsymmetrie**.

Setzen wir eine *pure* Gap in die Gap Gleichung ein:

$$\Delta_r^\mu w_r^\mu(\mathbf{k}) = - \sum_{\mathbf{k}'} \frac{V_{\mathbf{k}\mathbf{k}'}}{2E_{\mathbf{k}'}} \Delta_r^\mu w_r^\mu(\mathbf{k}')$$

Mit $V_{\mathbf{k}\mathbf{k}'} = V_{\mathbf{k}-\mathbf{k}'}$ und Orthogonalitätsbedingungen für die $w_r^\mu(\mathbf{k})$ erhält man:

$$\Delta_r^\mu = -\frac{1}{\lambda_r} \hat{V}(r) \sum_{\mathbf{k}'} \Delta_r^\mu [w_r^\mu(\mathbf{k}')]^2 \frac{1}{\sqrt{\xi_{\mathbf{k}'}^2 + \Delta_r^{\mu 2} w_r^\mu(\mathbf{k}')^2}}$$

Damit ist

$$\Delta_{\mathbf{k}} = \Delta_{\mathbf{r}}^{\mu} w_{\mathbf{r}}^{\mu}(\mathbf{k}) \quad \text{oder} \quad \Delta_{\mathbf{k}} = \Delta_{\mathbf{r}}^{\eta} w_{\mathbf{r}}^{\eta}(\mathbf{k}) + i \Delta_{\mathbf{r}}^{\zeta} w_{\mathbf{r}}^{\zeta}(\mathbf{k}), \quad \eta \neq \zeta$$

Die komplexe Kombination erfüllt auch $|\Delta_{\mathbf{k}}| = |\Delta_{\mathcal{D}(g)\mathbf{k}}|$.
Wird *mixed* genannt und bricht die **Zeitumkehrsymmetrie**.

Setzen wir eine *pure* Gap in die Gap Gleichung ein:

$$\Delta_{\mathbf{r}}^{\mu} w_{\mathbf{r}}^{\mu}(\mathbf{k}) = - \sum_{\mathbf{k}'} \frac{V_{\mathbf{k}\mathbf{k}'}}{2E_{\mathbf{k}'}} \Delta_{\mathbf{r}}^{\mu} w_{\mathbf{r}}^{\mu}(\mathbf{k}')$$

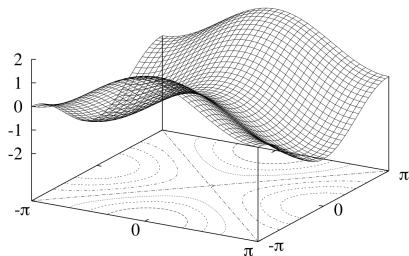
Mit $V_{\mathbf{k}\mathbf{k}'} = V_{\mathbf{k}-\mathbf{k}'}$ und Orthogonalitätsbedingungen für die $w_{\mathbf{r}}^{\mu}(\mathbf{k})$ erhält man:

$$\Delta_{\mathbf{r}}^{\mu} = - \frac{1}{\lambda_{\mathbf{r}}} \hat{V}(\mathbf{r}) \sum_{\mathbf{k}'} \Delta_{\mathbf{r}}^{\mu} [w_{\mathbf{r}}^{\mu}(\mathbf{k}')]^2 \frac{1}{\sqrt{\xi_{\mathbf{k}'}^2 + \Delta_{\mathbf{r}}^{\mu 2} w_{\mathbf{r}}^{\mu}(\mathbf{k}')^2}}$$

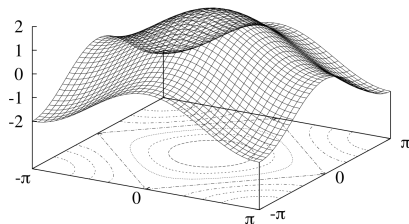
Symmetrien der Basisfunktionen

Wir erwarten attraktives $\hat{V}(\mathbf{r})$ für nearest- und next-nearest-neighbor.

Für NN $\mathbf{r} = (\pm 1, 0); (0, \pm 1) \equiv 1$ sind die Basisfunktionen:



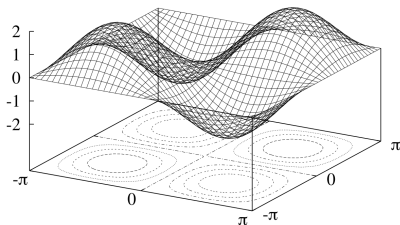
$$d_{x^2-y^2} : w_1^{d+}(\mathbf{k}) = \cos k_x - \cos k_y$$



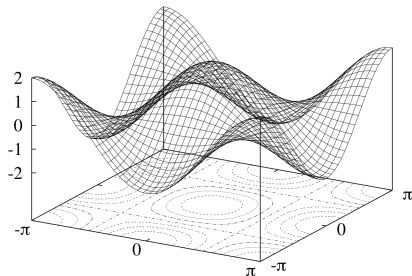
$$s_{x^2+y^2} : w_1^{s+}(\mathbf{k}) = \cos k_x + \cos k_y$$

Symmetrien der Basisfunktionen

Für NNN $r = (\pm 1, \pm 1) \equiv 2$ sind die Basisfunktionen:



$$d_{xy} : w_2^{d-}(\mathbf{k}) = 2 \sin k_x \sin k_y$$



$$s_{xy} : w_2^{s+}(\mathbf{k}) = \cos k_x \cos k_y$$

In einem **tight-binding** Modell ist die Einteilchen-Dispersion

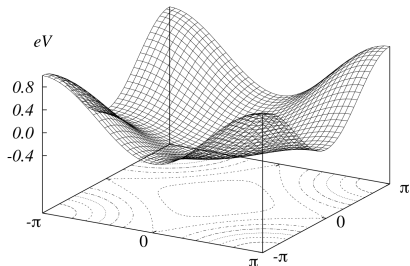
$$\xi_{\mathbf{k}} = -2t(\cos k_x + \cos k_y) + 4t' \cos k_x \cos k_y$$

Die Zustandsdichte

$$g_0(E) = \sum_{\mathbf{k}} \delta(E - E_{\mathbf{k}})$$

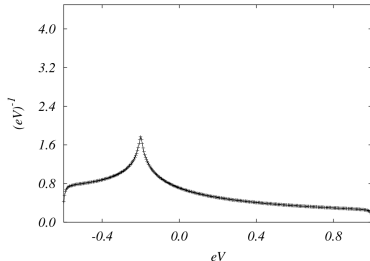
besitzt **Van-Hove-Singularitäten**, wenn der Gradient von $E_{\mathbf{k}}$ verschwindet, da

$$g_0(E) = \frac{1}{(2\pi)^2} \int_{E=\text{const.}} dk \frac{1}{|\nabla_{\mathbf{k}} E|}$$

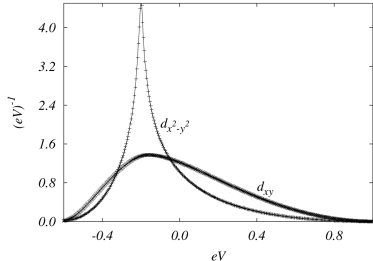


Projizierte Zustandsdichte

$$\Delta_r^\mu = -\frac{1}{\lambda_r} \hat{V}(\mathbf{r}) \sum_{\mathbf{k}'} [w_r^\mu(\mathbf{k}')]^2 \frac{\Delta_r^\mu}{E_{\mathbf{k}'}}$$



$g_0(E)$. Peak bei $E = -200$ meV



$g_r^\mu(E)$

Wir brauchen eigentlich eine **projizierte Zustandsdichte**:

$$g_r^\mu(E) = \sum_{\mathbf{k}} [w_r^\mu(\mathbf{k})]^2 \delta(E - E_{\mathbf{k}})$$

somit können wir schreiben:

$$\Delta_r^\mu = -\frac{1}{\lambda_r} \hat{V}(\mathbf{r}) \int dE g_r^\mu(E) \frac{\Delta_r^\mu}{E}$$

- ▶ Auch High- T_c Supraleitung ist ein Resultat von Cooper-Paaren \rightarrow Lässt sich mit einer Gap beschreiben
- ▶ Δ_k kann man in den Basisfunktionen der Punktgruppensymmetrie des Gitters entwickeln.
- ▶ Temperaturabhängigkeit lässt sich leicht einbauen, indem man Fermiverteilung für die Quasiteilchen, erzeugt von α_k^\dagger , annimmt

$$\rightarrow \Delta_k = -\frac{1}{2} \sum_{k'} V_{kk'} \frac{\Delta_{k'}}{E_{k'}} \tanh \frac{\beta E_{k'}}{2}$$

Durch Nullsetzen von Δ lässt sich T_c berechnen.

- ▶ Auch High- T_c Supraleitung ist ein Resultat von Cooper-Paaren \rightarrow Lässt sich mit einer Gap beschreiben
- ▶ $\Delta_{\mathbf{k}}$ kann man in den Basisfunktionen der Punktgruppensymmetrie des Gitters entwickeln.
- ▶ Temperaturabhängigkeit lässt sich leicht einbauen, indem man Fermiverteilung für die Quasiteilchen, erzeugt von $\alpha_{\mathbf{k}}^\dagger$, annimmt

$$\rightarrow \Delta_{\mathbf{k}} = -\frac{1}{2} \sum_{\mathbf{k}'} V_{\mathbf{k}\mathbf{k}'} \frac{\Delta_{\mathbf{k}'}}{E_{\mathbf{k}'}} \tanh \frac{\beta E_{\mathbf{k}'}}{2}$$

Durch Nullsetzen von Δ lässt sich T_c berechnen.

- ▶ Bei der komplexen Kombination erhält man zwei Gap-Gleichungen:

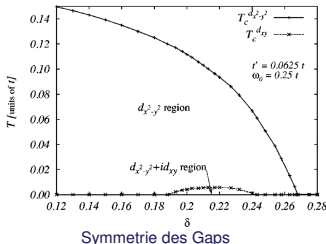
$$\Delta_1^\eta = -\frac{1}{\lambda_1} \hat{V}(1) \sum_{\mathbf{k}'} \Delta_1^\eta [w_1^\eta(\mathbf{k}')]^2 \frac{\tanh \frac{\beta E_{\mathbf{k}'}}{2}}{E_{\mathbf{k}'}}$$

$$\Delta_2^\zeta = -\frac{1}{\lambda_2} \hat{V}(2) \sum_{\mathbf{k}'} \Delta_2^\zeta [w_2^\zeta(\mathbf{k}')]^2 \frac{\tanh \frac{\beta E_{\mathbf{k}'}}{2}}{E_{\mathbf{k}'}}$$

$$\text{mit } E_{\mathbf{k}} = \sqrt{\xi_{\mathbf{k}}^2 + (\Delta_1^\eta w_1^\eta(\mathbf{k}))^2 + (\Delta_2^\zeta w_2^\zeta(\mathbf{k}))^2}$$

d.h. Gaps beeinflussen sich nur über $E_{\mathbf{k}}$.

Zweites Pairing als BCS
Kopplung zwischen den
Quasiteilchen des primären.





A. Altland & B. Simons

Condensed Matter Field Theory.



J. Annett

Superconductivity, Superfluids, and Condensates



G. Sangiovanni et al.

Doping-driven transition to a time-reversal breaking state in the phase diagram of the cuprates

Phys. Rev. B 67, **174507** (2003)



C. Tsuei and J. Kirtley

Pairing symmetry in cuprate superconductors

Rev. Mod. Phys. 72, **969–1016** (2000)



F. Wenger and S. Östlund

d-wave pairing in tetragonal superconductors

Phys. Rev. B 47, **5977-5983** (1993)



D. Scalapino

The case for $d_{x^2-y^2}$ pairing in the cuprate superconductor

Physics Reports, vol. 250, no. 6, **329-365** (1995)

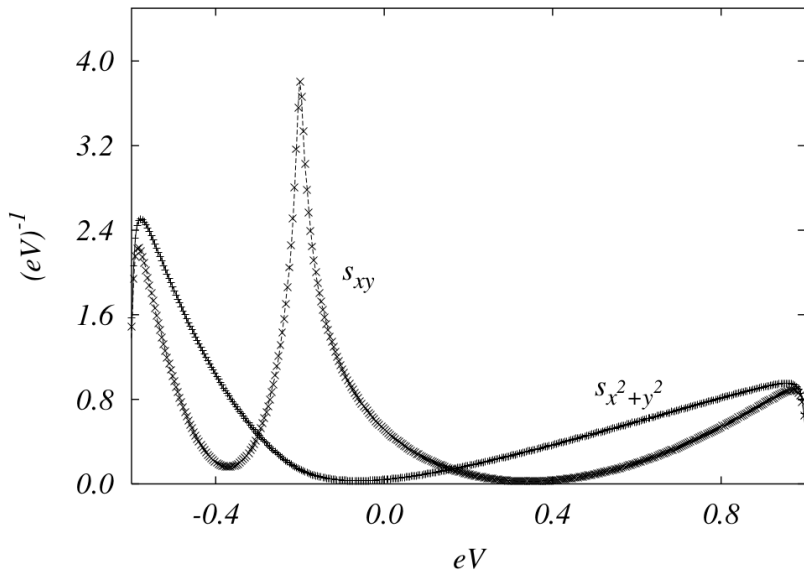


H. Ding et al.

Angle-resolved photoemission spectroscopy study of the superconducting gap anisotropy in $\text{Bi}_2\text{Sr}_2\text{CaCu}_2\text{O}_{8+x}$

Phys. Rev. B 54, **R9678-R9681** (1996)

Projizierte Zustandsdichte



Kritische Temperatur T_c

